

Wizja Maszynowa

Wizja i ruch

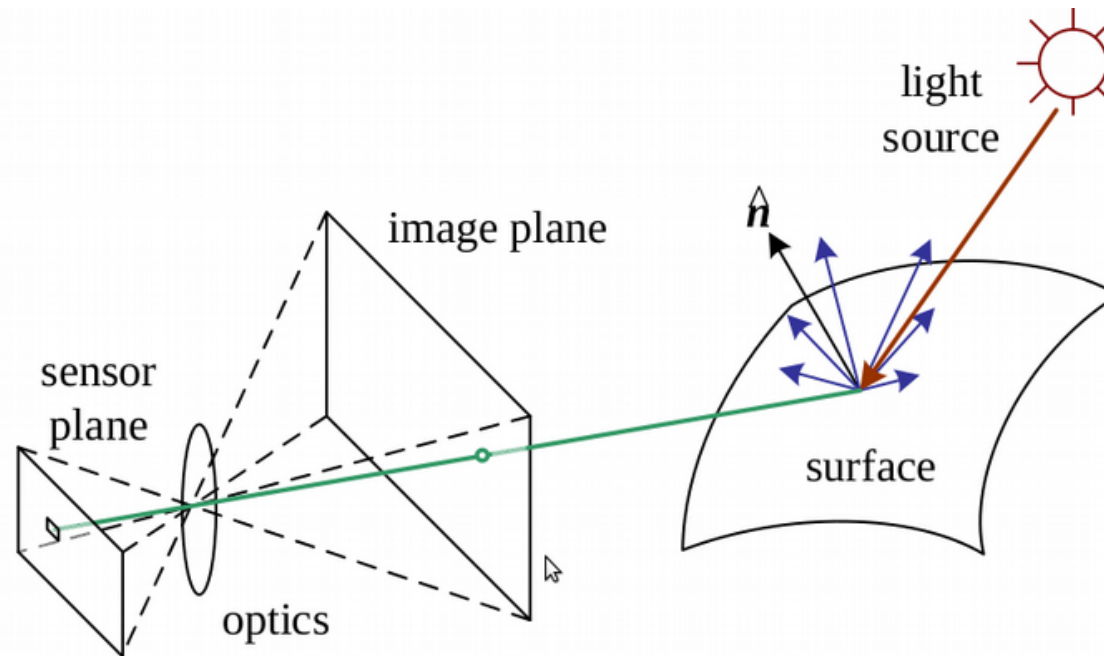
wykład 12

Adam Szmigielski

aszmigie@pjawst.edu.pl

materiały: *ftp(public) : //aszmigie/WM*

Tworzenie obrazu fotometrycznego



- **Oświetlenie** aby wytworzyć obraz, scena musi być oświetlona jedno lub więcej źródeł światła.
- Źródła światła można ogólnie podzielić na punktowe i obszarowe. Punktowe źródło światła powstaje w jednym miejscu w przestrzeni, potencjalnie w nieskończoności (np. Słońce).

Punkty 2D

Prymitywy geometryczne stanowią podstawowe bloki konstrukcyjne używane do opisu trójwymiarowych kształtów.

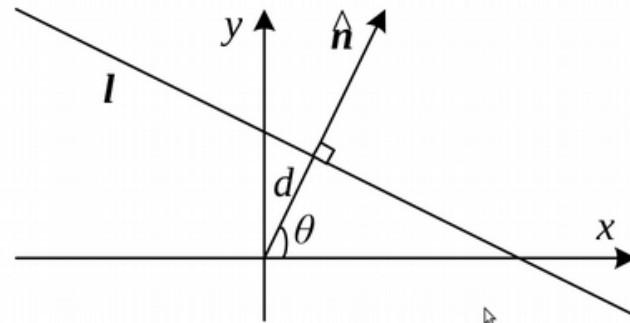
- **Punkty 2D** (współrzędne pikseli na obrazie) można oznaczyć za pomocą pary wartości, $x = (x, y) \in R^2$

$2D$ punkty można również przedstawić za pomocą jednorodnych współrzędnych,

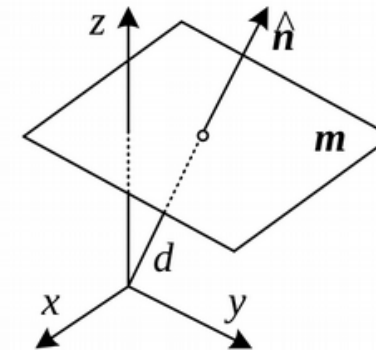
$$\tilde{x} = (\tilde{x}, \tilde{y}, \tilde{w}) = \tilde{w}\bar{x} \in P^2$$

gdzie wektory \tilde{x} różnią się tylko skalą \tilde{w} są równoważne, $\bar{x} = (x, y, 1)$ jest *rozszerzonym wektorem*, a P^2 nazywa się $2D$ *przestrzenią rzutową*.

Linie 2D



(a)



(b)

- **Linie 2D** można również przedstawić za pomocą jednorodnych współrzędnych $\tilde{l} = (a, b, c)$. Odpowiednie równanie linii to

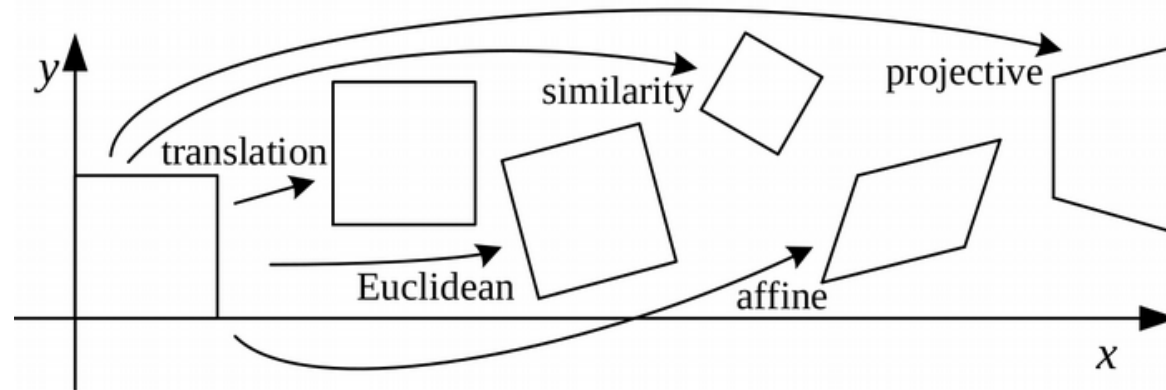
$$\tilde{x} \cdot \tilde{l} = ax + by + c = 0.$$

Możemy tak znormalizować wektor równania linii

$l = (\hat{n}_x, \hat{n}_y, d) = (\hat{n}, d)$ z $||\hat{n}|| = 1$ w tym przypadku, \hat{n} jest wektorem normalnym prostopadłym do prostej, a d jest jego odległością od początku.

- Kombinacja (Θ, d) jest również znana jako *biegunowe współrzędne*.

Transformacje 2D



- **Przekształcenie 2D** można zapisać jako $x' = x + t$ albo

$$x' = \begin{bmatrix} I & t \end{bmatrix} \cdot \bar{x},$$

gdzie I jest 2×2 macierzą jednostkową.

- **Obrót + przesunięcie.** To przekształcenie jest również znane jako ruch ciała sztywnego 2D lub transformacja euklidesowa 2D. Można go zapisać jako

$$x' = \begin{bmatrix} R & t \end{bmatrix} \bar{x}$$

gdzie

$$R = \begin{bmatrix} \cos(\theta) & -\sin(\theta) \\ \sin(\theta) & \cos(\theta) \end{bmatrix}$$

jest ortonormalną macierzą rotacji z $R \cdot R^T = I$ i $|R| = 1$.

- **Obrót skalowany**, znany również jako transformacja podobieństwa, transformację tę można wyrazić jako $x' = sRx + t$, gdzie s jest dowolnym współczynnikiem skali.

$$x' = \begin{bmatrix} sR & t \end{bmatrix} \bar{x} = \begin{bmatrix} a & -b & t_x \\ b & a & t_y \end{bmatrix} \bar{x}$$

gdzie nie wymagamy już, aby $a^2 + b^2 = 1$. Transformacja podobieństwa zachowuje kąty między liniami.

- **Transformacja afiniczna** jest zapisywana jako $x' = A\bar{x}$ gdzie A jest dowolną macierzą 2×3 , tj.

$$x' = \begin{bmatrix} a_{00} & a_{01} & a_{02} \\ a_{10} & a_{11} & a_{12} \end{bmatrix} \bar{x}$$


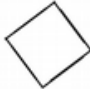



Proste równoległe pozostają równoległe w przypadku przekształceń afinicznych (nie zachowuje kątów między prostymi i odległości między punktami)

- **Transformacja projekcyjna**, znana również jako transformacja perspektywiczna lub homografia, działa na jednorodnych współrzędnych,

$$\tilde{x}' = \tilde{H}\tilde{x},$$

gdzie \tilde{H} jest macierzą 3×3 . \tilde{H} jest zdefiniowana w określonej skali, a dwie macierze \tilde{H} , które różnią się tylko skalą, są równoważne.

Hierarchia przekształceń współrzędnych 2D

Transformation	Matrix	# DoF	Preserves	Icon
translation	$\begin{bmatrix} \mathbf{I} & \mathbf{t} \end{bmatrix}_{2 \times 3}$	2	orientation	
rigid (Euclidean)	$\begin{bmatrix} \mathbf{R} & \mathbf{t} \end{bmatrix}_{2 \times 3}$	3	lengths	
similarity	$\begin{bmatrix} s\mathbf{R} & \mathbf{t} \end{bmatrix}_{2 \times 3}$	4	angles	
affine	$\begin{bmatrix} \mathbf{A} \end{bmatrix}_{2 \times 3}$	6	parallelism	
projective	$\begin{bmatrix} \tilde{\mathbf{H}} \end{bmatrix}_{3 \times 3}$	8	straight lines	

- Transformacje zachowują pewne właściwości (podobieństwo zachowuje nie tylko kąty, ale także równoległość prostych).
- Macierze 2×3 są rozszerzane o trzeci wiersz $[0^T \ 1]$, tworząc pełną macierz 3×3 dla jednorodnych przekształceń współrzędnych.

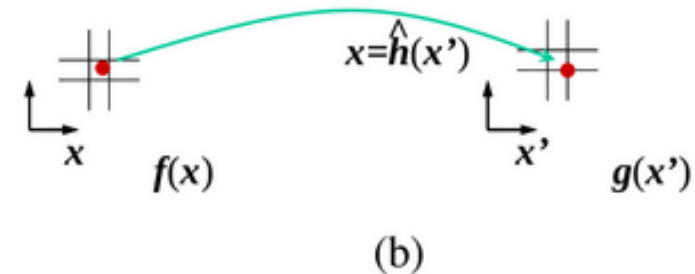
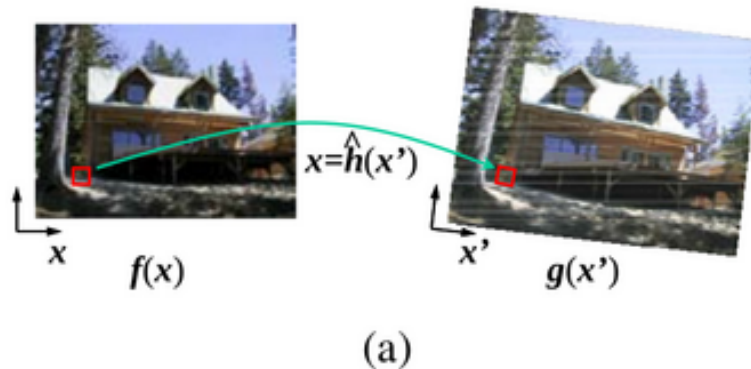
Wypaczanie do przodu (lub mapowanie)



- (a) piksel $f(x)$ jest kopiowany do odpowiedniego miejsca $x' = h(x)$ w obrazie $g(x')$;
- (b) szczegóły lokalizacji pikseli źródłowych i docelowych.
- Algorytm wypaczania do przodu służący do przekształcania obrazu $f(x)$ w obraz $g(x')$:

```
procedure forwardWarp(f, h, out g):  
  For every pixel x in f(x)  
    1. Compute the destination location  $x' = h(x)$ .  
    2. Copy the pixel  $f(x)$  to  $g(x')$ .
```

Odwrotne wypaczanie (lub mapowanie)



- (a) piksel $g(x')$ jest próbkowany z odpowiedniego miejsca $x = \hat{h}(x')$ w obrazie $f(x)$;
- (b) szczegóły lokalizacji pikseli źródłowych i docelowych.
- Algorytm odwrotnego wypaczania do tworzenia obrazu $g(x')$ z obrazu $f(x)$ przy użyciu transformacji parametrycznej $x' = h(x)$

```

procedure inverseWarp(f, h, out g):
  For every pixel  $x'$  in  $g(x')$ 
    1. Compute the source location  $x = \hat{h}(x')$ 
    2. Resample  $f(x)$  at location  $x$  and copy to  $g(x')$ 
  
```

Wyrównanie oparte na elementach 2D i 3D

Wyrównanie oparte na cechach to problem szacowania ruchu między dwoma lub więcej zestawami dopasowanych punktów 2D lub 3D.

Transform	Matrix	Parameters p	Jacobian J
translation	$\begin{bmatrix} 1 & 0 & t_x \\ 0 & 1 & t_y \end{bmatrix}$	(t_x, t_y)	$\begin{bmatrix} 1 & 0 \\ 0 & 1 \end{bmatrix}$
Euclidean	$\begin{bmatrix} c_\theta & -s_\theta & t_x \\ s_\theta & c_\theta & t_y \end{bmatrix}$	(t_x, t_y, θ)	$\begin{bmatrix} 1 & 0 & -s_\theta x - c_\theta y \\ 0 & 1 & c_\theta x - s_\theta y \end{bmatrix}$
similarity	$\begin{bmatrix} 1+a & -b & t_x \\ b & 1+a & t_y \end{bmatrix}$	(t_x, t_y, a, b)	$\begin{bmatrix} 1 & 0 & x & -y \\ 0 & 1 & y & x \end{bmatrix}$
affine	$\begin{bmatrix} 1+a_{00} & a_{01} & t_x \\ a_{10} & 1+a_{11} & t_y \end{bmatrix}$	$(t_x, t_y, a_{00}, a_{01}, a_{10}, a_{11})$	$\begin{bmatrix} 1 & 0 & x & y & 0 & 0 \\ 0 & 1 & 0 & 0 & x & y \end{bmatrix}$
projective	$\begin{bmatrix} 1+h_{00} & h_{01} & h_{02} \\ h_{10} & 1+h_{11} & h_{12} \\ h_{20} & h_{21} & 1 \end{bmatrix}$	$(h_{00}, h_{01}, \dots, h_{21})$	

- Sprowadzamy problem do globalnych *transformacji parametrycznych*,
- Jakobiany transformacji współrzędnych 2D $x' = f(x; p)$.

Wyrównanie 2D przy użyciu metody najmniejszych kwadratów

Mając zestaw dopasowanych punktów cech $\{x_i, x'_i\}$ i planarną transformację parametryczną postaci $x' = f(x; p)$

Jak możemy oszacować parametry p ?

- Zwykle metodą najmniejszych kwadratów (LS, aby zminimalizować sumę kwadratów błędów)

$$E_{LS} = \sum_i \|r_i\|^2 = \sum_i \|f(x_i; p) - x'_i\|^2,$$

gdzie

$$r_i = f(x_i; p) - x'_i = \hat{x}'_i - \tilde{x}'_i$$

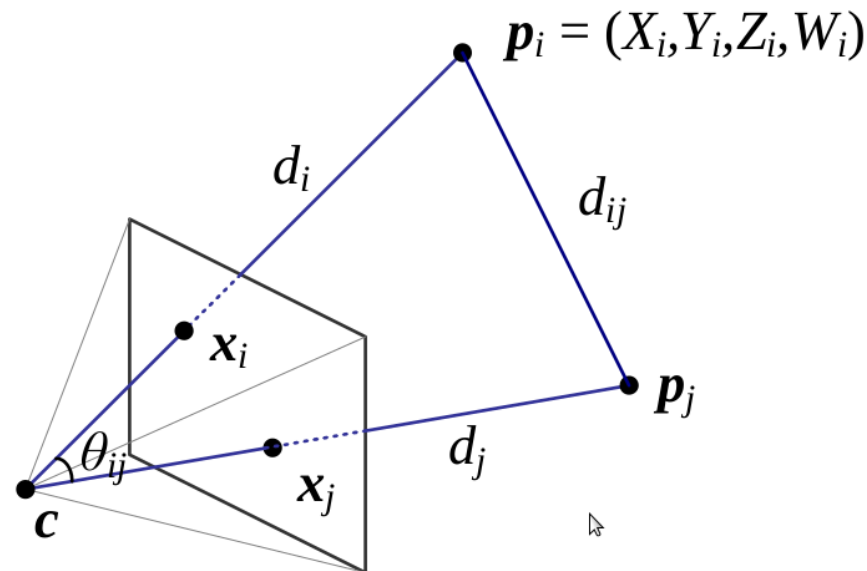
jest resztą między zmierzoną lokalizacją \hat{x}'_i a odpowiadającą jej przewidywaną lokalizacją $\tilde{x}'_i = f(x_i; p)$.

Estymacja położenia

Szczególnym przypadkiem wyrównania opartego na cechach, które występuje bardzo często, jest oszacowanie pozycji 3D obiektu na podstawie zestawu rzutów punktowych 2D

- Ten problem **estymacji pozycji** jest również znany jako **zewnętrzna kalibracja** (w przeciwieństwie do *wewnętrznej kalibracji* wewnętrznych parametrów aparatu, takich jak ogniskowa itp.)
- Problem odzyskania pozycji z trzech korespondencji jest znany jako problem z perspektywą-3-punktami (P3P)

Algorytmy liniowe



Najprostszym sposobem odtworzenia ułożenia kamery jest utworzenie układu równań liniowych z macierzy kamery projekcji perspektywicznej,

$$x_i = \frac{p_{00}X_i + p_{01}Y_i + p_{02}Z_i + p_{03}}{p_{20}X_i + p_{21}Y_i + p_{22}Z_i + p_{23}}$$

$$y_i = \frac{p_{10}X_i + p_{11}Y_i + p_{12}Z_i + p_{13}}{p_{20}X_i + p_{21}Y_i + p_{22}Z_i + p_{23}}$$

gdzie (x_i, y_i) to zmierzone lokalizacje elementów $2D$, a (X_i, Y_i, Z_i) to znane lokalizacje elementów $3D$.

Algorytmy liniowe

- Aby obliczyć 12 niewiadomych w P , trzeba znać co najmniej sześć korelacji między lokalizacjami $3D$ i $2D$.
- Po odzyskaniu wpisów w P można odzyskać zarówno wewnętrzną macierz kalibracji K , jak i sztywną transformację (R, t) :

$$P = K[R|t].$$

- Ponieważ K jest zgodnie z konwencją górny trójkątny, zarówno K , jak i R można uzyskać z przodu 3×3 podmacierz P stosując faktoryzację RQ ,
- W przypadku, gdy kamera jest już skalibrowana, znana jest macierz K ,
- Kąt widzenia θ_{ij} między dowolną parą punktów $2D$ \hat{x}_i i \hat{x}_j musi być taki sam, jak kąt między odpowiadającymi im punktami $3D$ p_i i p_j .

Algorytmy liniowe

- Biorąc pod uwagę zbiór odpowiadających sobie punktów $2D$ i $3D$ $\{(\hat{x}_i, p_i)\}$, gdzie \hat{x}_i to kierunki jednostek uzyskane przez przekształcenie pomiarów $2D$ pikseli x_i do normy jednostkowej Kierunki $3D$ \hat{x}_i przez odwrotną macierz kalibracji K

$$\hat{x}_i = \frac{K^{-1}x_i}{\|K^{-1}x_i\|},$$

niewiadomymi są odległości d_i od początku kamery c do $3D$ punktów p_i , gdzie

$$p_i = d_i \hat{x}_i + c$$

- Po dokonaniu indywidualnych oszacowań odległości d_i możemy wygenerować strukturę $3D$ składającą się ze skalowanych kierunków punktów $d_i \hat{x}_i$, aby uzyskać pożądane oszacowanie pozycji.

Algorytmy iteracyjne

Najdokładniejszym sposobem oszacowania ułożenia jest bezpośrednio zminimalizowanie kwadratowego błędu odwzorowania punktów 2D przy użyciu nieliniowych najmniejszych kwadratów.

- Możemy zapisać równania rzutowania jako

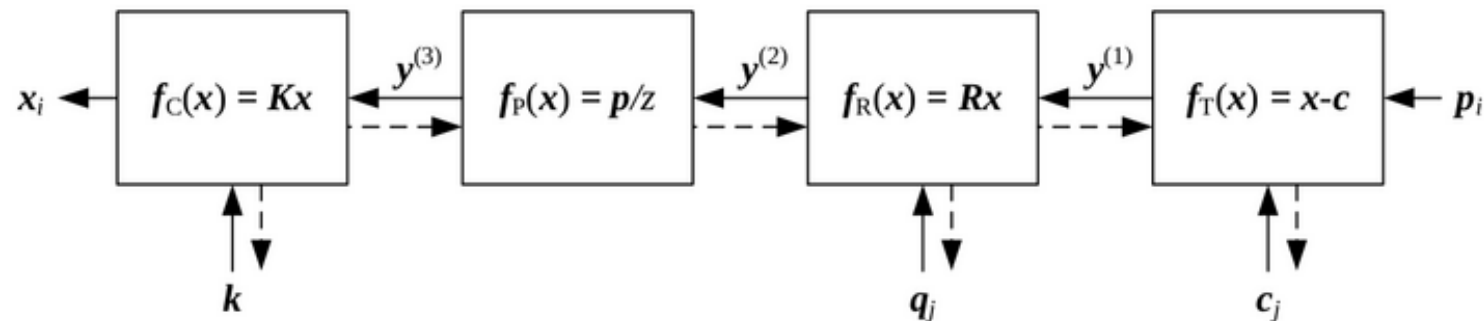
$$x_i = f(p_i; R, t, K)$$

i iteracyjnie zminimalizuj zlinearyzowane błędy odwzorowania:

$$E_{NLP} = \sum_i \rho\left(\frac{\partial f}{\partial R} \triangle R + \frac{\partial f}{\partial t} \triangle t + \frac{\partial f}{\partial K} \triangle K - r_i\right)$$

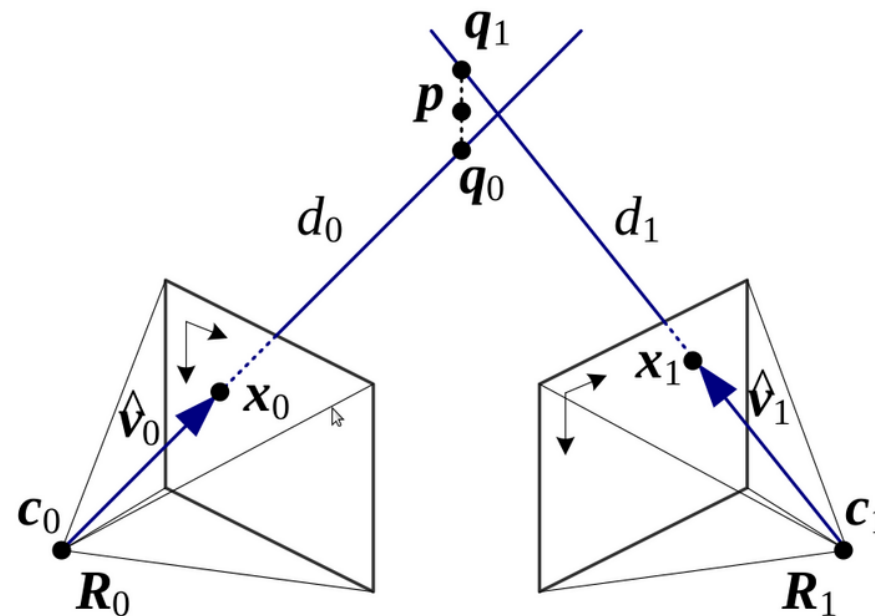
gdzie $r_i = \tilde{x}_i - \hat{x}_i$ to błąd 2D w przewidywanej pozycji.

Implementacja algorytmów iteracyjnych



- Zestaw połączonych transformacji do rzutowania 3D punktu p_i na pomiar 2D x_i poprzez serię transformacji $f^{(k)}$, z których każda jest kontrolowana przez własny zestaw parametrów .
- Linie przerywane wskazują przepływ informacji, ponieważ częściowe pochodne są obliczane podczas przejścia wstecz.

Triangulacja



Problem określania pozycji 3D punktu na podstawie zestawu odpowiednich lokalizacji obrazu i znanych pozycji kamery jest znany jako *triangulacja*.

- Ten problem jest odwrotnością oceny pozycji,
- Aby rozwiązać ten problem, musimy znaleźć 3D punkt p , który leży najbliżej wszystkich promieni 3D odpowiadających lokalizacjom obiektów dopasowania 2D $\{x_j\}$ obserwowanych przez kamery $\{P_j = K_j[R_j|t_j]\}$, gdzie $t_j = -R_j c_j$ i c_j to j centrum kamery.

Triangulacja

- Najbliższy punkt p na tym promieniu, który oznaczmy jako q_1 , minimalizuje odległość $\|c_1 + d_1 \hat{v}_1 - p\|^2$,
- Optymalną wartość p , która leży najbliżej wszystkich promieni, można obliczyć jako zwykłe zadanie najmniejszych kwadratów, sumując wszystkie r_j^2 i znajdując optymalną wartość p :

$$p = \left[\sum_i (I - \hat{v}_i \hat{v}_i^T) \right]^{-1} \left[\sum_i (I - \hat{v}_i \hat{v}_i^T) c_i \right].$$

Rzuty 3D do 2D

Możemy to zrobić używając liniowej macierzy projekcji 3D do 2D.

- Rzutowanie ortograficzne po prostu opuszcza składową z trójwymiarowej współrzędnej p , aby otrzymać 2D punkt x .

$$x = [I_{2 \times 2} | 0]p$$

- Często obraz trzeba przeskalować o s , aby zmieścił się na matrycy (np. cm do pikseli). Z tego powodu ortografia skalowana jest w rzeczywistości częściej używana,

$$x = [sI_{2 \times 2} | 0]p$$

Perspektywa

Najczęściej używaną projekcją w grafice komputerowej i wizji komputerowej jest prawdziwa perspektywa 3D

- Tutaj punkty są rzutowane na płaszczyznę obrazu przez podzielenie ich przez składową z
- We współrzędnych jednorodnych rzut ma prostą postać liniową

$$\tilde{x} = \begin{bmatrix} 1 & 0 & 0 & 0 \\ 0 & 1 & 0 & 0 \\ 0 & 0 & 1 & 0 \end{bmatrix} \tilde{p}$$

- Do znormalizowanych współrzędnych urządzenia w zakresie $(x, y, z) \in [-1, -1] \times [-1, 1] \times [0, 1]$, a następnie przeskalowuje te współrzędne do całkowitych współrzędnych pikseli przy użyciu transformacji widoku
- (Początkowa) projekcja perspektywiczna jest następnie reprezentowana za pomocą macierzy 4×4

$$\tilde{x} = \begin{bmatrix} 1 & 0 & 0 & 0 \\ 0 & 1 & 0 & 0 \\ 0 & 0 & \frac{-z_{far}}{z_{range}} & \frac{z_{near} \cdot z_{far}}{z_{range}} \\ 0 & 0 & 1 & 0 \end{bmatrix} \tilde{p}$$

gdzie z_{near} i z_{far} to bliskie i dalekie *z płaszczyzn obcinania* i $z_{range} = z_{far} - z_{near}$.

- Jeśli ustawimy $z_{near} = 1$, $z_{far} = \infty$, trzeci element znormalizowanego wektora rastrowego staje się odwrotną głębcią (*rozbieżność*)

- Można odwzorować wartość dysproporcji d bezpośrednio z powrotem do lokalizacji $3D$ przy użyciu odwrotności macierzy 4×4 .
- Możemy to zrobić, jeśli przedstawimy rzut perspektywiczny za pomocą macierzy pełnej rangi 4×4 :

$$\tilde{P} = \begin{bmatrix} K & 0 \\ 0^T & 1 \end{bmatrix} \begin{bmatrix} R & t \\ 0^T & 1 \end{bmatrix} = \tilde{K} \cdot E$$

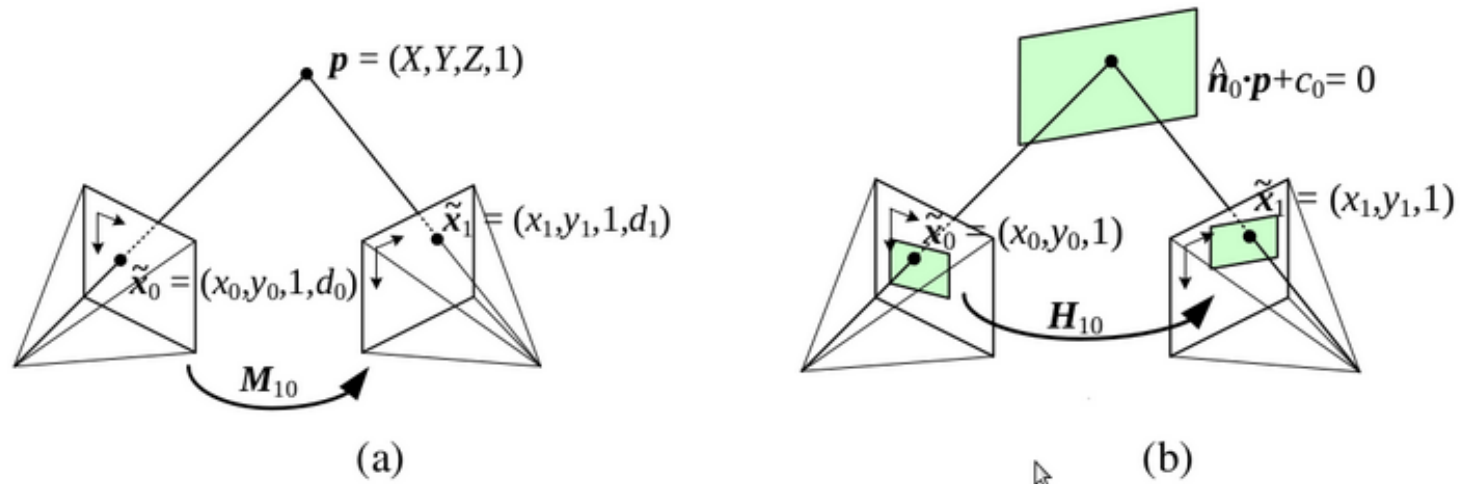
gdzie E jest $3D$ transformacją ciała sztywnego (euklidesa), a \tilde{K} jest macierzą kalibracji pełnego rzędu.

- Macierz kamery 4×4 \tilde{P} może być używany do mapowania bezpośrednio ze współrzędnych świata $3D$ $\overline{p_w} = (x_w, y_w, z_w, 1)$ do współrzędnych ekranu (plus różnica), $s_s = (x_s, y_s, 1, d)$,

$$s_s \sim \tilde{P} \overline{p_w}$$

gdzie \sim wskazuje równość w skali.

Mapowanie z jednej kamery do drugiej



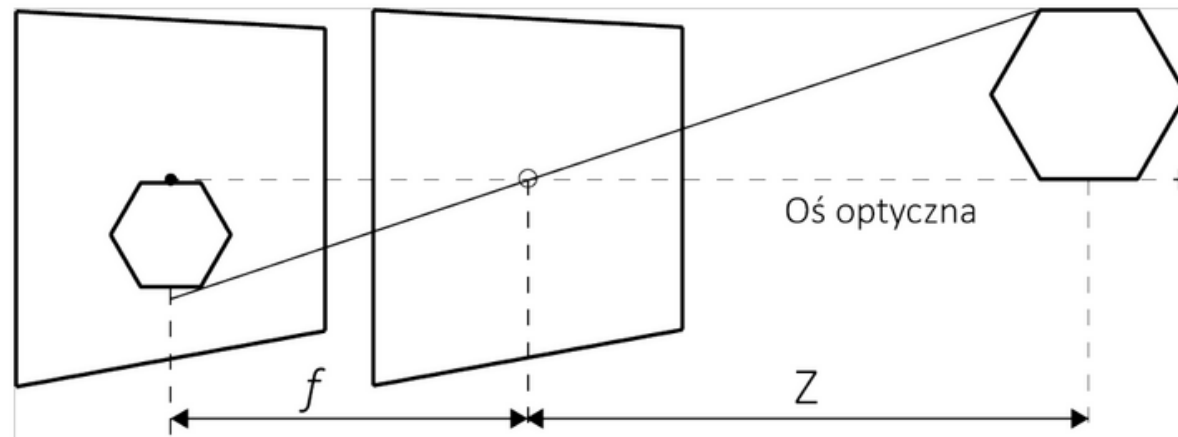
- Używając pełnej rangi 4×4 matrycy kamery $\tilde{P} = \tilde{K}E$ możemy zapisać rzutowanie ze świata na współrzędne ekranu jako

$$\tilde{x}_0 \sim \tilde{K}_0 E_0 p = \tilde{P}_0 p.$$

- Zakładając, że znamy wartość różnicy d_0 dla piksela w jednym obrazie, możemy obliczyć położenie 3D punktu p za pomocą

$$p \sim E_0^{-1} \tilde{K}_0^{-1} \tilde{x}_0.$$

Model kamery otworkowej

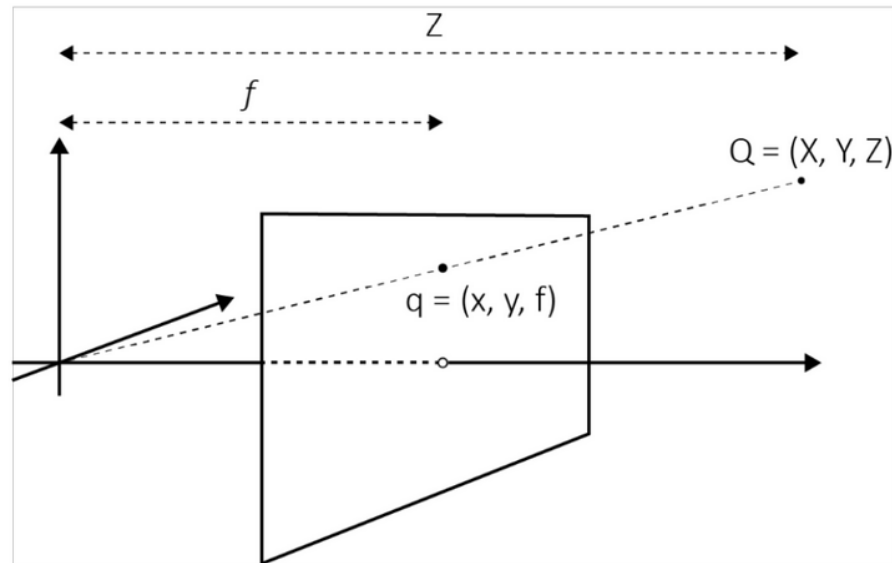


Z podobieństw trójkątów:

$$\frac{-x}{f} = \frac{X}{Z}$$

•

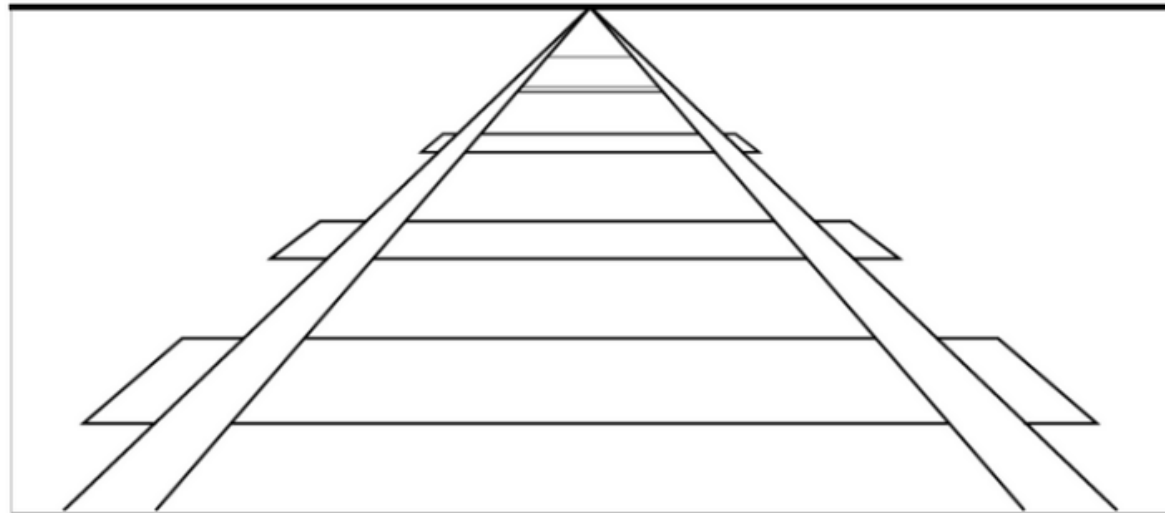
Zmodyfikowany model kamery otworkowej



$$x_{ekran} = f_x \frac{x_{swiat}}{Z} + c_x \text{ oraz } y_{ekran} = f_y \frac{y_{swiat}}{Z} + c_y$$

- c_x oraz c_y określają przesunięcie punktu głównego od osi optycznej,
- Ogniskowe f_x oraz f_y zostały rozdzielone ponieważ piksele w urządzeniu rejestrującym mogą być prostokątne,
- Wielkość f_x oznacza iloczyn ogniskowej i rozmiaru s_x elementu układu obrazującego.

Współrzędne homogeniczne



- Przejście ze świata trójwymiarowego na współrzędne obrazu nazywa się przekształceniem rzutowym,
- W geometrii euklidesowej dwie linie równoległe nie stykają się, w przestrzeni rzutowej zbiegają się do wspólnego punktu w nieskończoności,
- W przestrzeni rzutowej używa się współrzędnych homogenicznych. Przedstawiają one punkt n wymiarowy za pomocą $n - 1$ wymiarów.

Współrzędne homogeniczne

- Przejście z punktu $(1, 2)$ na współrzędne homogeniczne polega na dodaniu dodatkowego czynnika $(1, 2, w)$, przy czym zamiana współrzędnych na kartezjańskie wygląda następująco:

$$(x, y, w) \Leftrightarrow \left(\frac{x}{w}, \frac{y}{w}\right)$$

- W przypadku płaszczyzny światłoczułej punkt w postaci $q = (x, y, f)$ będzie miał współrzędne równe $q' = \left(\frac{x}{f}, \frac{y}{f}\right)$.
- Jeśli dodatkowa współrzędna homogeniczna punktu jest równa, zero punkt ten jest w nieskończoności:

$$\left(\frac{x}{0}, \frac{y}{0}\right) \Rightarrow (\infty, \infty)$$

Macierz parametrów wewnętrznych kamery

- Posługując się *macierzą parametrów wewnętrznych kamery* M można określić odwzorowanie punktu świata rzeczywistego Q na obraz:

$$q = M \cdot Q$$

gdzie:

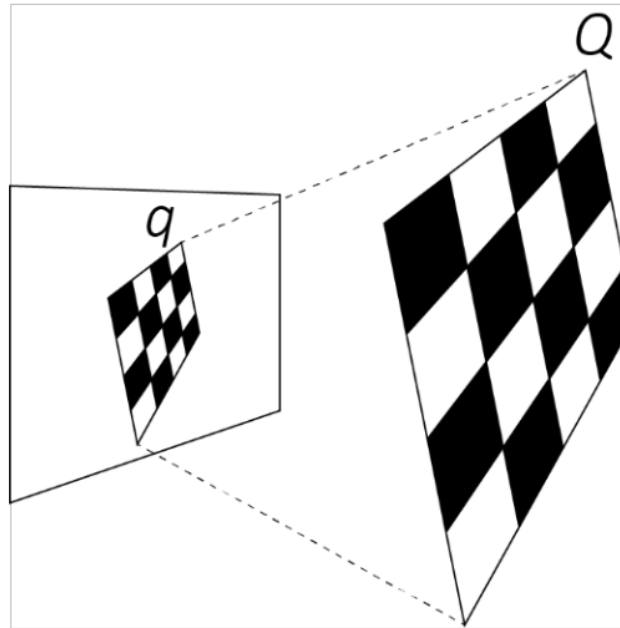
q jest współrzędną homogeniczną $q = [x, y, f]^T$

Q jest punktem świata rzeczywistego $Q = [X, Y, Z]^T$

M jest macierzą parametrów wewnętrznych kamery

$$M = \begin{bmatrix} f_x & 0 & c_x \\ 0 & f_y & c_y \\ 0 & 0 & 1 \end{bmatrix}$$

Homografia



- Przekształcenia homograficznego jest odwzorowaniem jednej płaszczyzny na inną płaszczyznę.
- Przekształcenie homograficzne wykonuje się za pomocą macierzy homografii i współrzędnych homogenicznych:

$$q = sHQ$$

gdzie s jest współczynnikiem skali a H macierzą homografii.

Macierz homografii

- Aby określić macierz homografii należy określić macierz rotacji R oraz wektor translacji t .
- Współrzędne punktu q na obrazie nie posiadają głębokości można pominąć rotację w tej płaszczyźnie zostawiając tylko wektory r_1 i r_2 .
- Uwzględniając macierz parametrów wewnętrznych kamery M *macierz homografii* ma postać:

$$H = sM[r_1, r_2, t] \cdot \begin{bmatrix} X \\ Y \\ 1 \end{bmatrix}$$

Zniekształcenia obrazu - dystorsja radialna

- W praktyce, aby skupić możliwie dużo światła stosuje się układy optyczne (soczewki),
- Dodanie soczewki powoduje *dystorsje radialną* którą można opisać jako:

$$x_p = (x_n - c_x)(k_1 r^2 + k_2 r^4 + k_3 r^6)$$

$$y_p = (y_n - c_y)(k_1 r^2 + k_2 r^4 + k_3 r^6)$$

gdzie:

(x_n, y_n) – oryginalna lokalizacja punktu,

(x_p, y_p) – poprawiona lokalizacja punktu,

(c_x, c_y) – środek obrazu,

$$r = \sqrt{(x_n - c_x)^2 + (y_n - c_y)^2},$$

k_1, k_2, k_3 – wartości zniekształcenia radialnego.

Zniekształcenia obrazu - dystorsja tangensowa

- Jej źródłem jest nierówne przymocowanie układu obrazującego do kamery

- Zniekształcenie tego typu opisują dwa parametry p_1 i p_2 :

$$x_p = x_n + [2p_1(x_n - c_x)(y_n - c_y) + p_2(r^2 + 2(x_n - c_x)^2)]$$

$$y_p = y_n + [p_1(r^2 + 2(y_n - c_y)^2) + 2p_2(x_n - c_x)(y_n - c_y)]$$

gdzie:

(x_n, y_n) – oryginalna lokalizacja punktu,

(x_p, y_p) – poprawiona lokalizacja punktu,

(c_x, c_y) – środek obrazu,

$$r = \sqrt{(x_n - c_x)^2 + (y_n - c_y)^2},$$

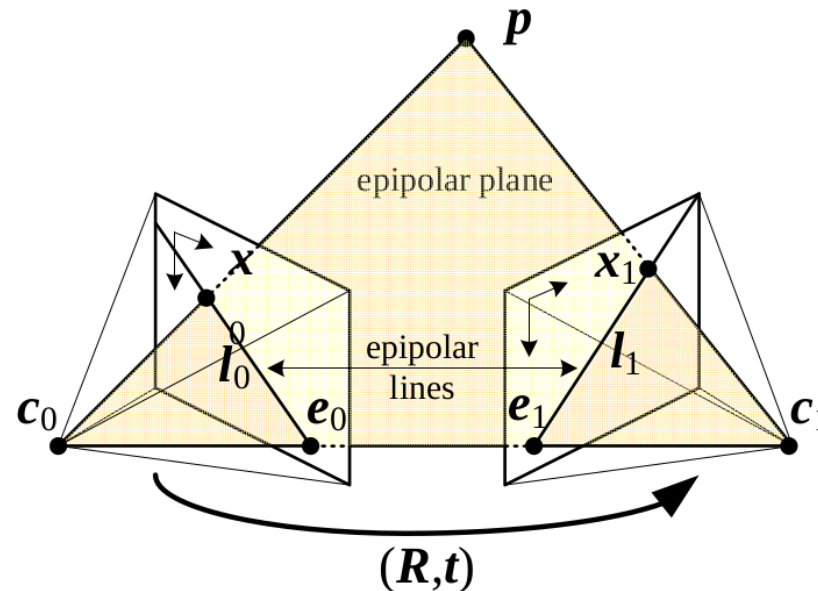
p_1, p_2 – wartości zniekształcenia tangensowego.

Układ stereo kamer

Proces interpretacji dwóch obrazów:

1. Usunięcie zniekształceń - krok **kalibracji**,
2. Wyrównanie obrazów względem siebie – ten krok nazywa się **rektyfikacją**,
3. Poszukiwanie odpowiadających sobie punktów - ten krok nazywa się **szukaniem korespondencji**

Układ dwóch kamer



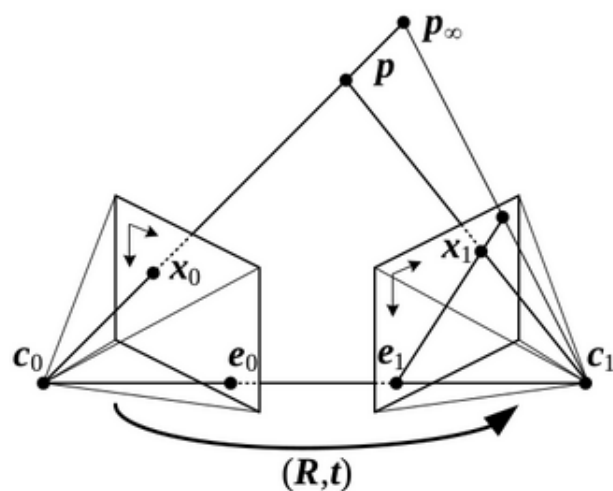
W tym zadaniu jednocześnie odzyskujemy strukturę $3D$ i pozujemy z korespondencji obrazu.

- Względną pozycję można zakodować za pomocą rotacji R i przesunięcia t ,
- Wektory $t = c_1 - c_0$, $p - c_0$ i $p - c_1$ są współpłaszczyznowe i definiują podstawowe ograniczenie epipolarne wyrażone w wymiarach pikseli x_0 i x_1 .

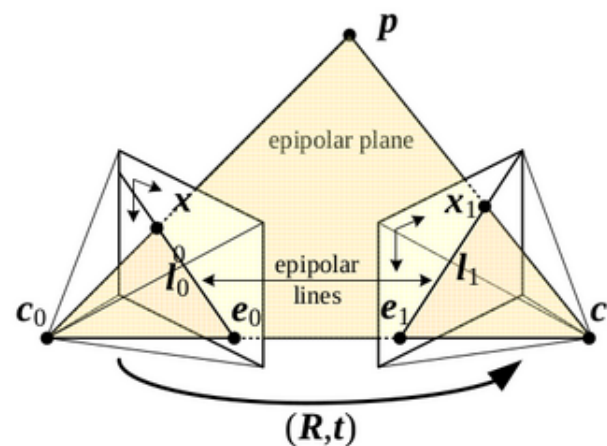
Dopasowanie stereo

Dopasowywanie stereo to proces wykonywania dwóch lub więcej zdjęć i szacowania modelu $3D$ o wartości sceny, znajdując pasujące piksele na obrazach i konwertując ich pozycje $2D$ na $3D$ głębokości.

Geometria epipolarna



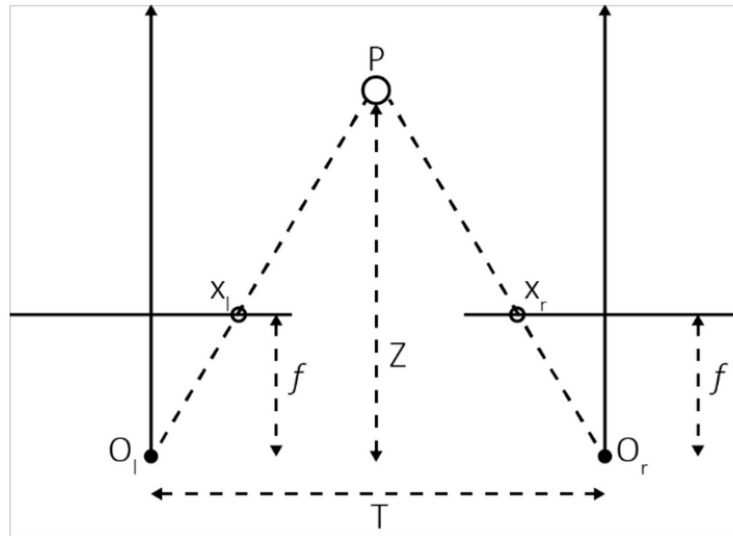
(a)



(b)

- (a) epipolarny odcinek linii odpowiadający jednemu promieniowi. Pixel x_0 na jednym obrazie rzutuje na epipolarny segment linii na drugim obrazie.
- (b) odpowiedni zestaw linii epipolarnych i ich płaszczyzna epipolarna.

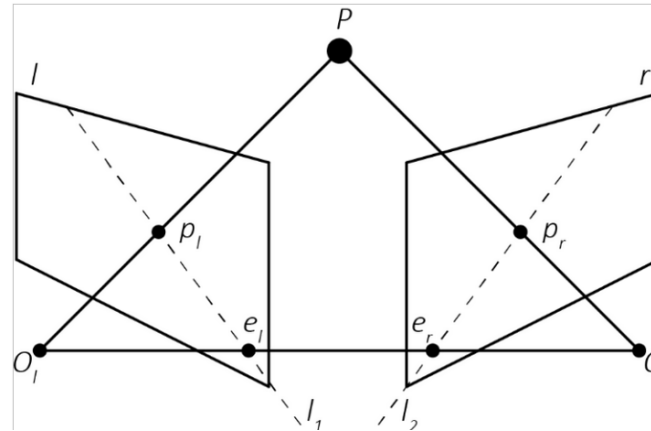
Geometria stereo - układ idealny



- Układu kamer, położonych w jednej linii, identycznych kamer z równoległymi osiami optycznymi nazywa się układem frontowo-równoległym.
- Obie kamery mają równą ogniskową f , więc z podobieństwa trójkątów można wyprowadzić odległość przedmiotu P :

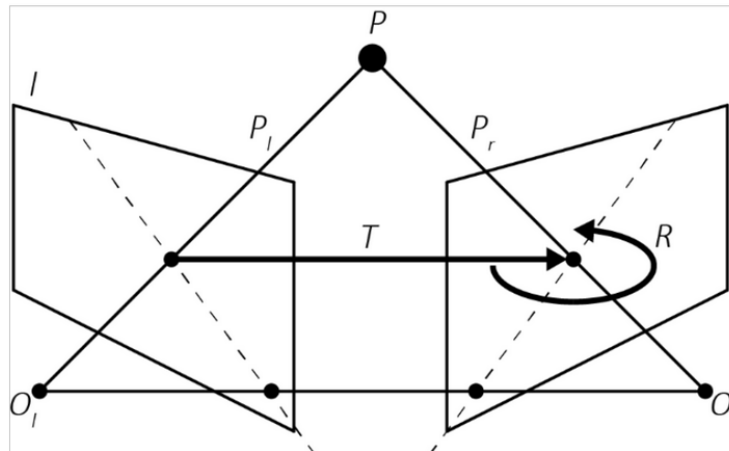
$$Z = \frac{fT}{x_l - x_r}$$

Układ rzeczywisty - geometria epipolarna.



- Środkami projekcji kamer są O_1 i O_2 , a ich płaszczyznami rzutowymi l i r .
- Punkty p_1 i p_r są rzutem punktu P ze świata rzeczywistego na płaszczyzny rzutowe l i r .
- Punkty epipolarne e_l i e_r są rzutem środka projekcji drugiej kamery na płaszczyznę,
- Linie epipolarne l_1 i l_2 łączące środki projekcji i punkty epipolarne
- Płaszczyzna epipolarna wyznaczają punkty P , e_l i e_r .

Macierz zasadnicza



- **Macierz zasadnicza** E wiąże położenie obu kamer w stosunku do siebie za pomocą translacji i rotacji we współrzędnych fizycznych.
- Ponieważ przekształcenie jest złożeniem rotacji R i translacji T
 $P_l = R(P_r - T),$
- Macierz zasadniczą możemy opisać jako:

$$E = R \cdot S = R \cdot \begin{bmatrix} O & -T_x & T_y \\ T_z & 0 & -T_x \\ -T_y & T_x & 0 \end{bmatrix} \quad - S \text{ opisuje translację.}$$

Macierz fundamentalna

- Macierz zasadnicza opisuje położenie kamer względem siebie,
- Często potrzebne jest połączenie punktów jednego obrazu z drugim ze współrzędnych pikselowych - służy do tego **macierz fundamentalna**,
- tworzy się ją na podstawie macierzy zasadniczej E i macierzy parametrów wewnętrznych kamery M

Kalibracja stereo

- Proces kalibracji będzie polegał na dostarczeniu wystarczającej ilości zdjęć, z góry znanej planszy kalibracyjnej z oznaczonymi jej punktami charakterystycznymi.
- Celem tego procesu będzie przybliżenie nieznanych parametrów wewnętrznych i zewnętrznych kamer, mając tylko zestaw zdjęć z odpowiednim wzorem kalibracyjnym

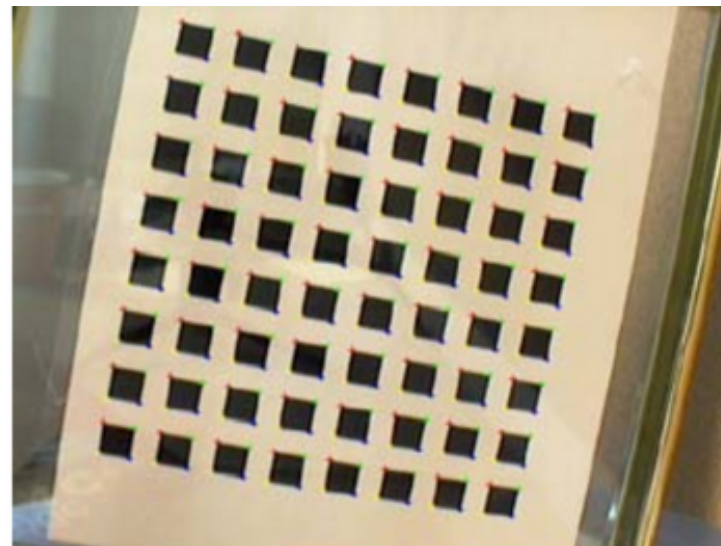
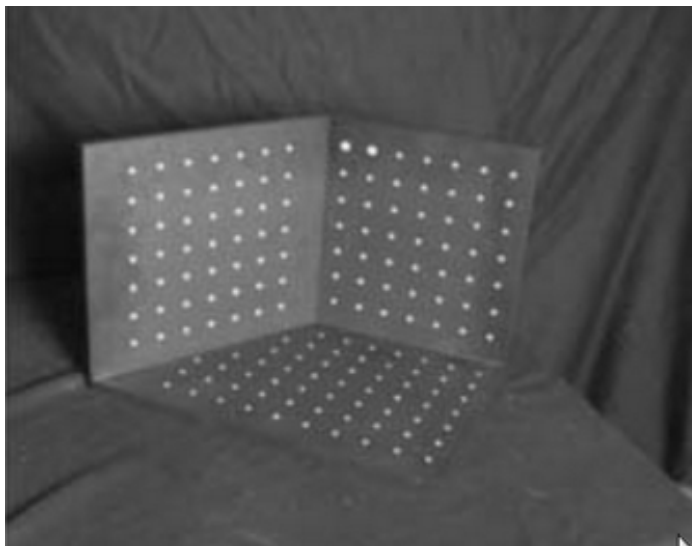
Proces kalibracji

parametry, które są potrzebne, by zdefiniować cechy kamery oraz umiejscowienie kamer względem siebie

- Parametry macierzy wewnętrznej aparatu (f_x, f_y, c_x, c_y) ,
- Parametry zniekształceń
 - Radialne (k_1, k_2, k_3) ,
 - Tangensowe (p_1, p_2) ,
- Macierz rotacji – parametry rotacji (r_1, r_2, r_3) ,
- Wektor translacji – parametry translacji (T_x, T_y, T_z) .

Proces kalibracji będzie polegał na dostarczeniu wystarczającej ilości zdjęć, z góry znanej planszy kalibracyjnej z oznaczonymi jej punktami charakterystycznymi.

Kalibracja wewnętrzna geometryczna



- **Wzorce kalibracyjne** - użycie wzorca kalibracyjnego lub zestawu markerów jest jednym z bardziej wiarygodnych sposobów oszacowania wewnętrznych parametrów aparatu,
- **Planarne wzorce kalibracyjne** - dobrym sposobem wykonania kalibracji jest przesuwanie planarnego celu kalibracji w kontrolowany sposób przez przestrzeń roboczą.

Proces kalibracji stereo

- Dla każdego obrazu szachownicy musimy określić homografię jaką posiada, czyli jej rzut na układ obrazowania aparatu.
- Homografia będzie się składała z dwóch kolumn macierzy rotacji r_1 i r_2 , wektora translacji t , macierzy parametrów wewnętrznych kamery M i współczynnika skali s .

$$H = [h_1, h_2, h_3] = s \cdot M \cdot [r_1, r_2, t]$$

- czyli:

$$h_1 = sMr_1$$

$$h_2 = sMr_2$$

$$h_3 = sMr_3$$

- Macierz rotacji jest ortogonalna, po unormowaniu otrzymujemy $r_1^T \cdot r_2 = 0$ oraz $|r_2| = |r_2| \Rightarrow r_1^T r_1 = r_2^T r_2$

Rektyfikacja

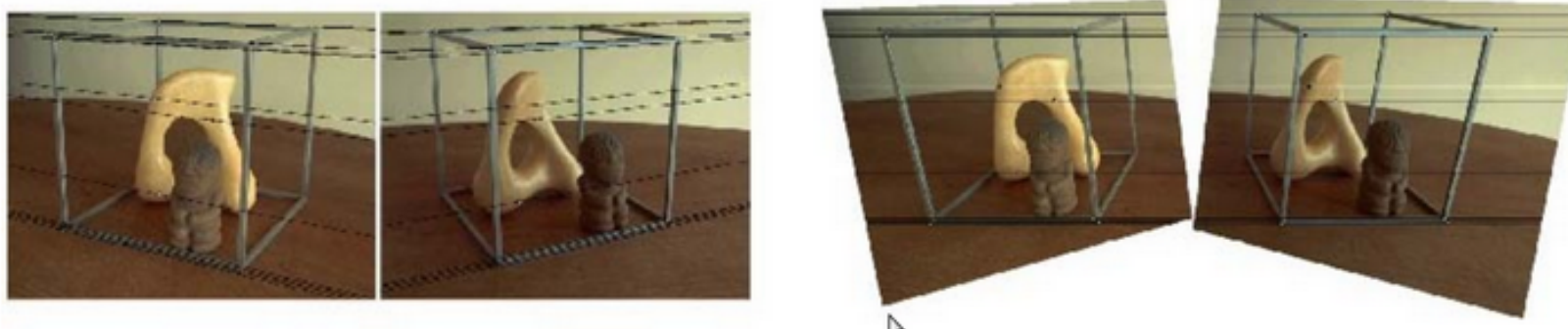
- Celem rektyfikacji jest sprowadzenie obrazów do takiego układu, jakby były zrobione za pomocą idealnego układu frontowo-równoległego,
- W bibliotece OpenCV są dostępne dwie strategie rektyfikowania obrazu, algorytm Hartleya oraz algorytm Bougueta.

Raktyfikacja

Geometria epipolarna dla pary kamer jest niejawna we względnej pozycji i kalibracji kamer i może być obliczona na podstawie dopasowań punktowych.

- Jednym ze sposobów jest użycie ogólnego algorytmu korespondencji, takiego jak *przepływ optyczny* ang. *optical flow*
- Bardziej wydajny algorytm można uzyskać korygując obrazy wejściowe tak, aby odpowiadające poziome linie skanowania były liniami epipolarnymi,
- Następnie można niezależnie dopasować poziome linie skanowania lub przesuwać obrazy w poziomie podczas obliczania pasujących wyników.

Rektyfikacja - przykład



- Prosty sposób na poprawienie dwóch obrazów jest najpierw obrócenie obu kamer tak, aby były ustawione prostopadle do linii łączącej środki kamer c_0 i c_1 ,
- Następnie, aby określić pożądany skręt wokół osi optycznych, wykonaj wektor w górę prostopadle do linii środkowej kamery.
- Na koniec przeskaluj obrazy, jeśli to konieczne, aby uwzględnić różne ogniskowe,

Standardowa rektyfikowana geometria

jest stosowany w wielu konfiguracjach kamer stereo i algorytmach stereo i prowadzi do bardzo prostej odwrotnej zależności między głębią 3D Z a różnicami d :

$$d = f \frac{B}{Z}$$

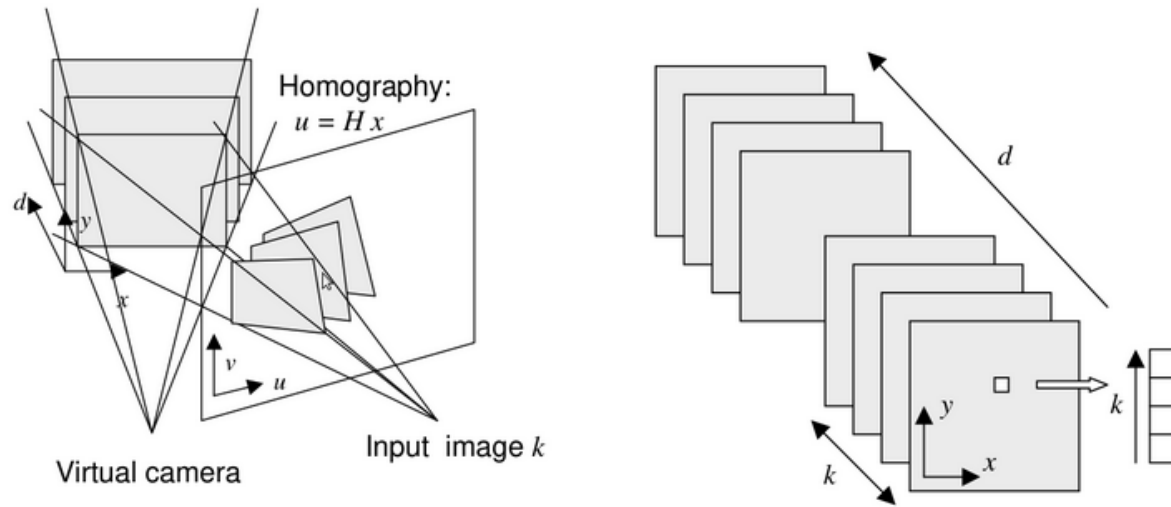
gdzie f to ogniskowa (mierzona w pikselach), B to linia bazowa.

- Zależność między odpowiednimi współrzędnymi pikseli na lewym i prawym obrazie:

$$x' = x + d(x, y), y' = y$$

- Zadanie wydobywania głębi ze zbioru obrazów staje się następnie zadaniem oszacowania **mapy dysproporcji** $d(x, y)$.
- Po poprawieniu możemy łatwo porównać podobieństwo pikseli w odpowiednich lokalizacjach (x, y) i $(x', y') = (x + d, y)$.

Przemiatanie płaszczyzny



Alternatywą dla wstępnej rektyfikacji obrazów przed dopasowaniem jest **przeciągnięcie zestawu płaszczyzn** przez scenę i zmierzenie fotokonsystencji obrazów podczas ich wyświetlania na płaszczyźnie.

- Zestaw płaszczyzn widzianych z kamery wirtualnej wywołuje zestaw homografii w obrazie z dowolnej innej kamery źródłowej (wejściowej).
- Wypaczone obrazy ze wszystkich innych kamer mogą być układane w stos w uogólnionej przestrzeni dysproporcji $\tilde{I}(x, y, d, k)$, różnica d kamery k , (x, y) - lokalizacja piksela

Algorytm Hartleya

- Do obliczenia macierzy fundamentalnej, potrzebny jest tylko jeden zestaw zdjęć,
- Algorytm ten jako danych początkowych potrzebuje macierzy fundamentalnej i zestawu korespondujących punktów z obrazów. W pierwszym kroku oblicza punkty epipolarne: $F e_l = 0$ i $e_l^T = 0$
- Następnym krokiem w algorytmie, jest przeniesienie punktu epipolarnego do nieskończoności do $e_r = (k, 0, 1)^T$. Wykonuje się to mnożąc przez macierz:

$$G = \begin{bmatrix} 1 & 0 & 0 \\ 0 & 1 & 0 \\ \frac{-1}{k} & 0 & 1 \end{bmatrix}$$

- Następnie, stosuje się translację T , by przenieść obraz do początku

okładu współrzędnych i rotację R , by ustawić wszystkie linie epipolarne równoległe do osi X .

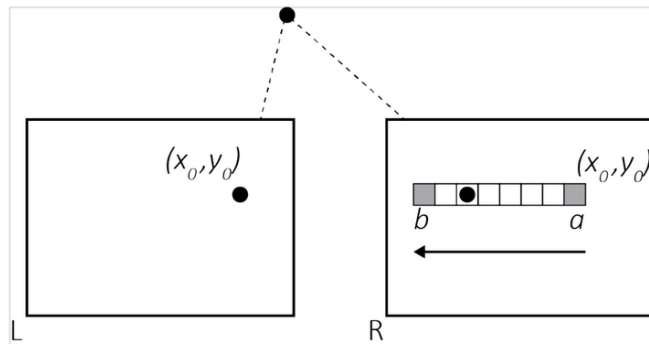
Algorytm Bougueta

- Algorytm Bougueta znając rotację i translację układu kamer, ma za zadanie sprowadzić obrazy kamer do idealnego układu,
- Danymi wejściowymi jest macierz rotacji R i wektor translacji T , które są dane po przeprowadzeniu kalibracji.

Korespondencja stereo

- Celem korespondencji obrazów, jest znalezienie możliwie największego wspólnego obszaru na parze obrazów.
- Takie obszary można znaleźć tylko na obrazach, na których widoki z obu aparatów nachodzą na siebie.

Algorytm Block Matching

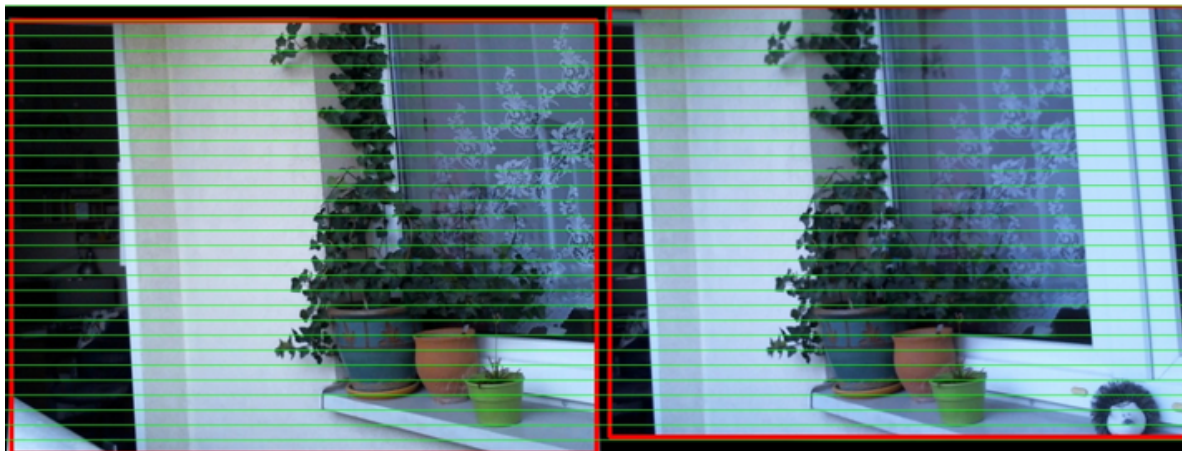


- Szybki algorytm wykorzystujący mechanizm sum różnic bezwzględnych,
- Pierwszym krokiem, jest zlikwidowanie ekstremalnie jasnych lub ciemnych pikseli.
- Nad każdym pikselem zatrzymuje się okienko i zbiera informacje o otoczeniu. Oblicza średnią jasność pikseli w okienku i zmienia wartość środkowego piksela na:

$$\min(\max(I_c - I, I_{cap}), I_{cap})$$

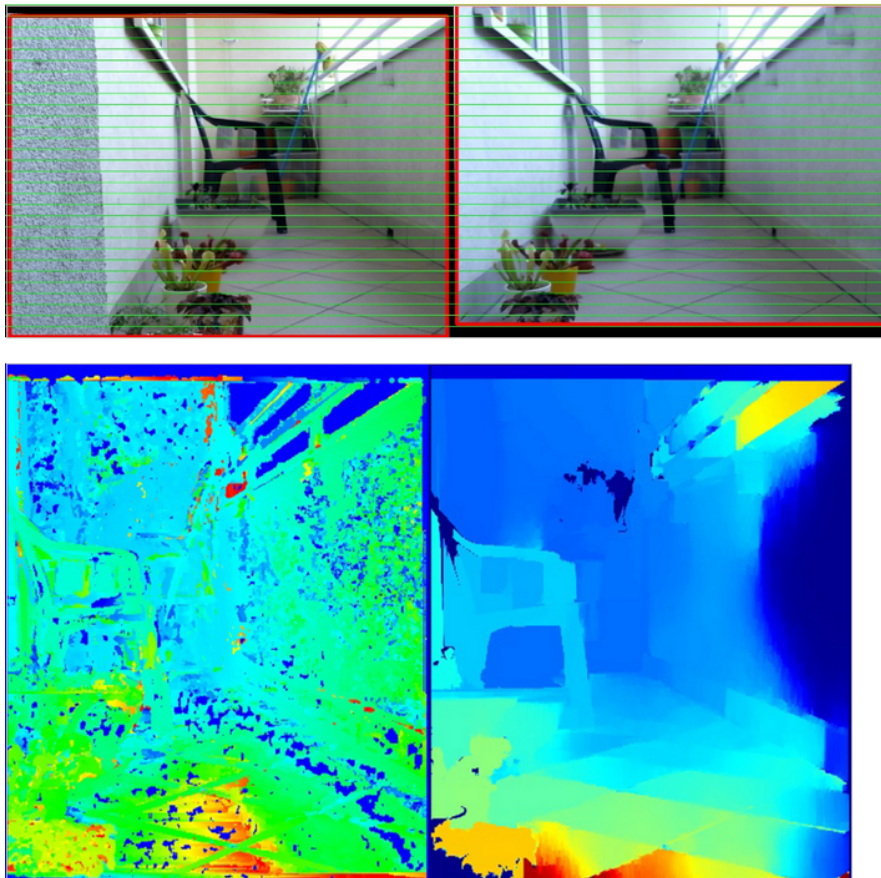
gdzie I_c jest jasnością środkowego piksela, a I_{cap} granicą jasności.

Wyniki prawidłowej kalibracji



- Odwzorowanie mapuje punkt (x, y) z oryginalnego obrazu na punkt (x', y') na docelowym obrazie, lecz nie musi to być punkt o współrzędnych całkowity
- Stosuje się odwzorowanie odwrotne (and. reverse mapping):
 - wybraniu na docelowym obrazie piksela, którego chcemy policzyć,
 - określeniu jakie miałyby współrzędne po likwidacji zniekształceń, a przed rektyfikacją,
 - odszukaniu go na oryginalnym obrazie.

Wyniki prawidłowej rektyfikacji



- Zielone linie pokazują linie epipolarne.
- Pary zdjęć w paletce kolorystycznej to mapy głębi.